

# CALCUL MOLÉCULAIRE

# ORDINATEUR MOLÉCULAIRE

Pourquoi ?

- vitesse
- coûts
- «car c'est là»
- médecin dans la cellule ([Labo de Shapiro](#)) :  
observe les chemins de signalisation, produit des signaux (c-à-d enzymes) lui-même, traitement de maladies au niveau cellulaire

# IMPLANTATION PAR BIOTECH

Rappel : notre répertoire d'outils de biotechnologie

- hybridation
- PCR
- enzymes de restriction
- clonage
- electrophoresis
- séquençage

# ENCODAGE

Encodage d'information par ADN : c'est presque trivial :)

Exemple : message secret (*microdot*)

A=CGA      K=AAG

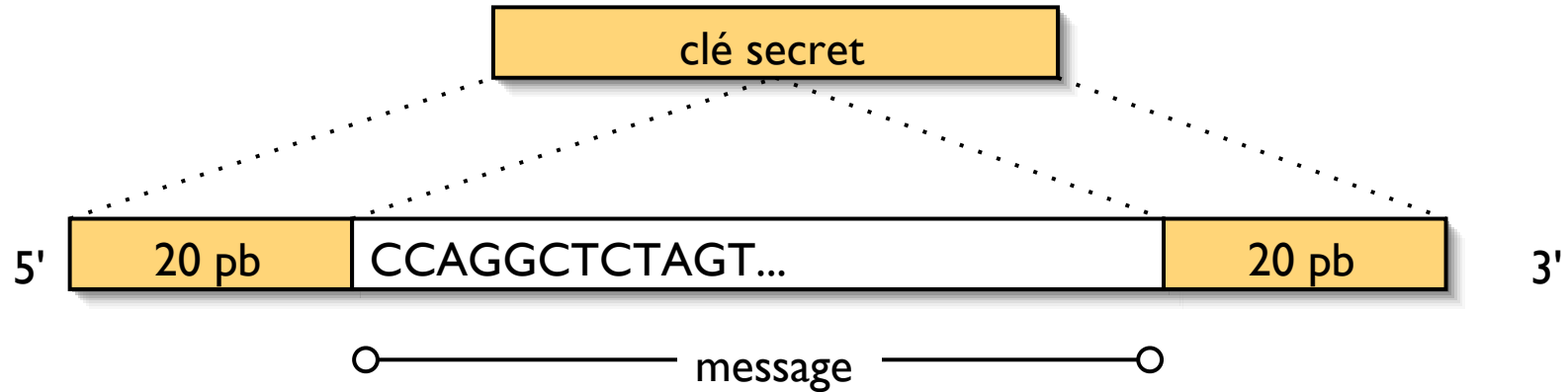
B=CCA      L=TGC

C=GTT      M=TCC

...

«Bonjour la tristesse» → CCAGGGCTCTAGT . . .

## MESSAGE SECRET - 2

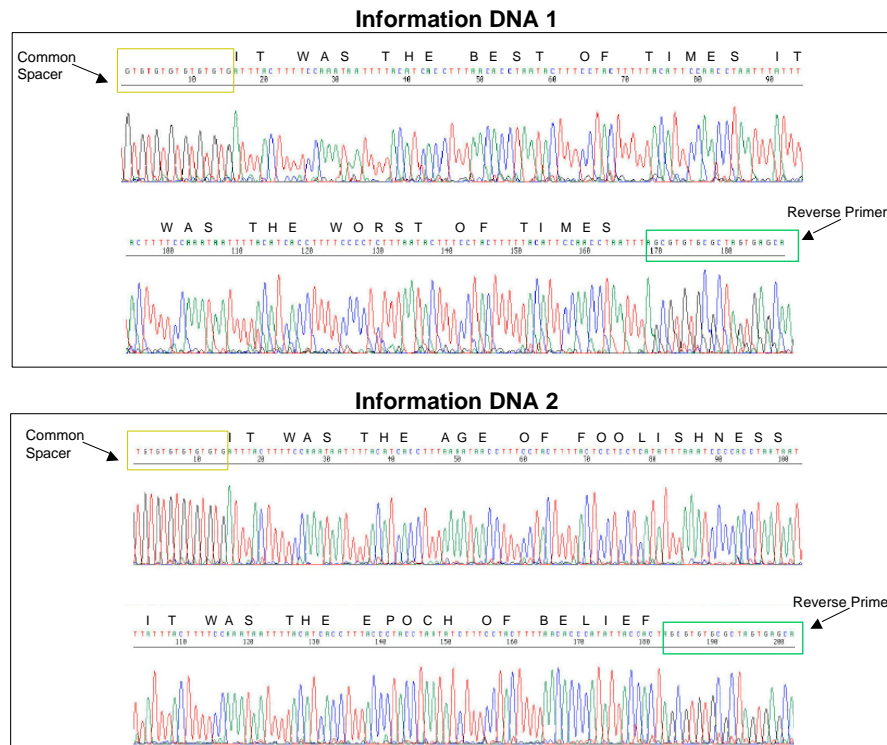


mélanger le message secret avec d'autres molécules ADN

amplification du message par PCR — il faut savoir le clé secret (nombre de possibilités :  $4^{40}$ )

Clelland & al. *Nature* 399 :533 (1999)

# STOCKAGE D'INFORMATION



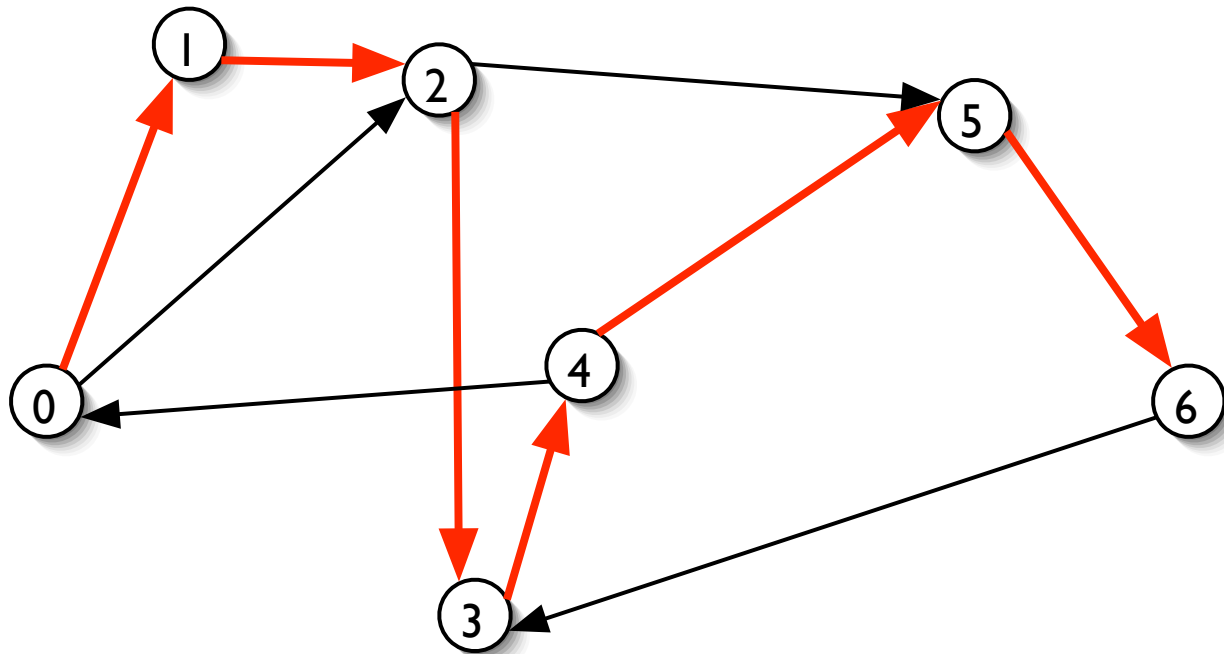
Experimental prototype: Readout (sequencing plus decoding) of Information DNAs.

Bancroft & al. Science 293 :1763 (2001)

# ENCODAGE DE GRAPHS

Expérience classique de Leonard Adleman (1994) : chemin Hamiltonien

[présentation de Winnie]



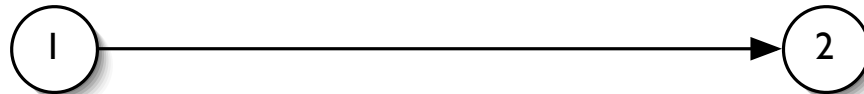
## ENCODAGE DE GRAPHES - 2

Noeuds encodés par oligonucléotides  $O_i = O_i^{(g)}O_i^{(d)}$ , arêtes encodés par oligos  
 $O_{ij} = O_i^{(d)}O_j^{(g)}$

mélanger :  $\overline{O_i}$ , pour  $i = 1, \dots, 5$  (complément Watson-Crick) ;  $O_{ij}$

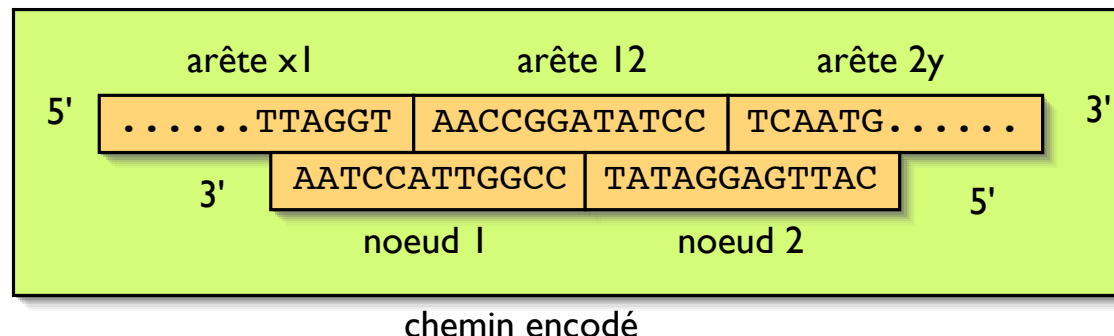
# ENCODAGE DE GRAPHS – 3

$5' \circ \text{--- TTAGGTAACCGG ---o } 3'$        $5' \circ \text{--- ATATCCTCAATG ---o } 3'$



$5' \circ \text{--- AACCGGATATCC ---o } 3'$

$0_{12}$



## ENCODAGE DE GRAPHES – 4

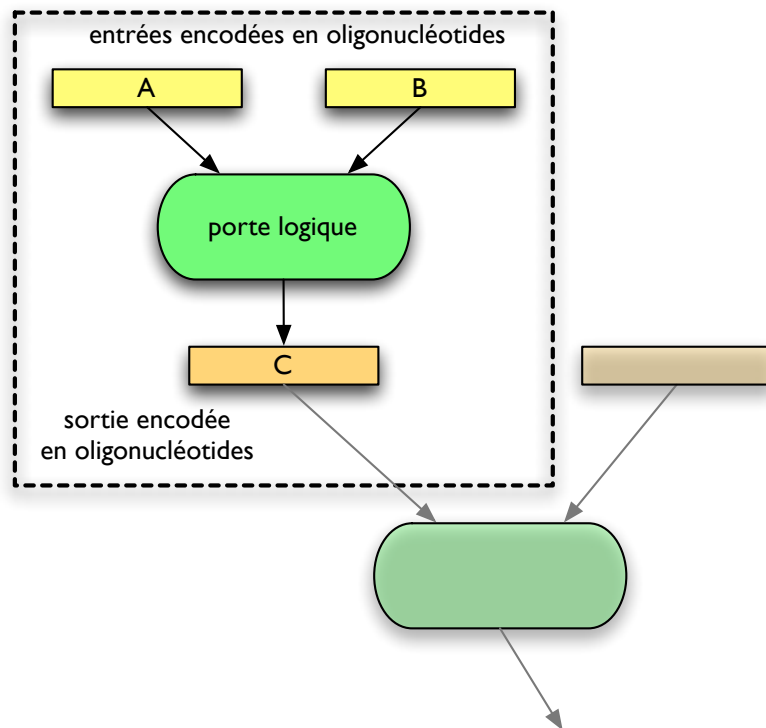
chaque molécule formée correspond à un chemin :

1. amplification par PCR (filtrer les chemins  $0 \rightarrow 6$ )
2. mesurer la longueur
3. filtrer par chaque  $O_i$  pour vérifier sa présence

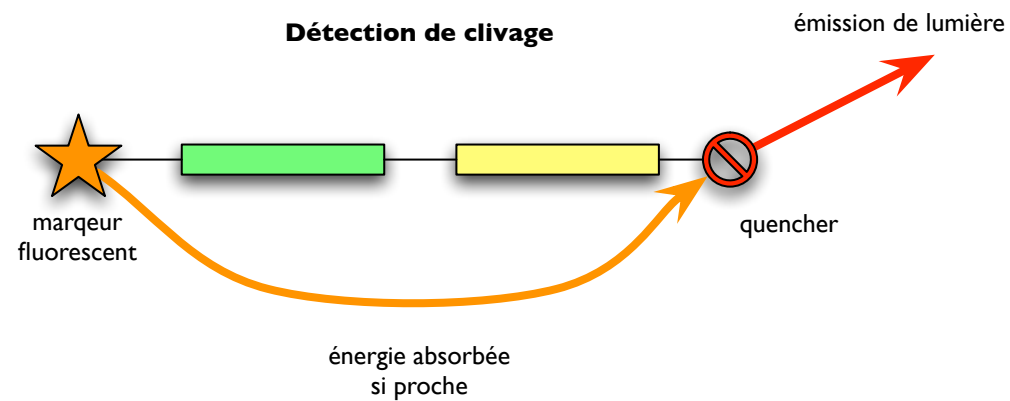
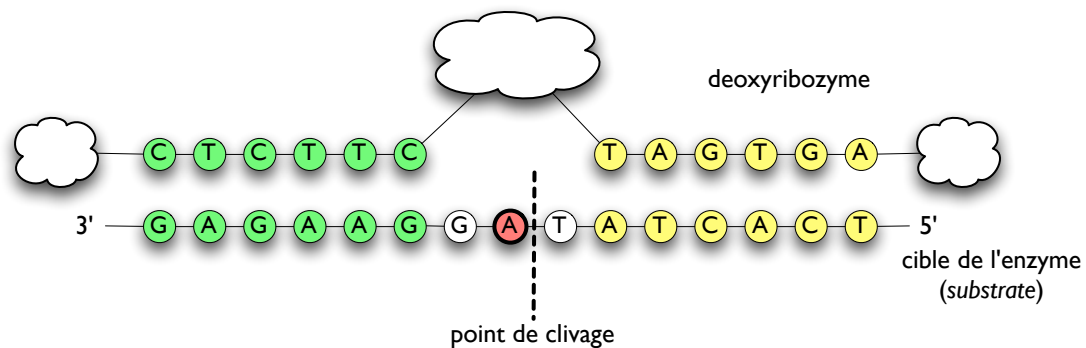
Problèmes : espace exponentiel (nombre exponentiel de chemins), modèle de calcul (formation de molécules en une dimension à partir d'un ensemble de pièces) est décidable  $\Rightarrow$  n'est pas aussi puissant que la machine de Turing

# PORTE LOGIQUES

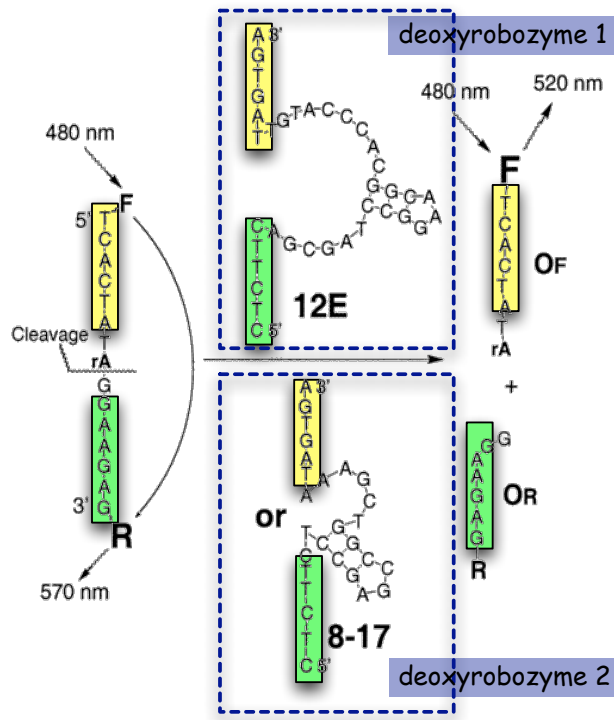
concept de base



# IMPLANTATION — COMPONENTS DE BASE

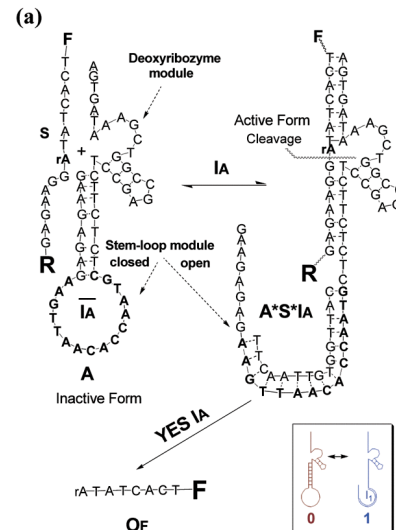


# DÉTAILS

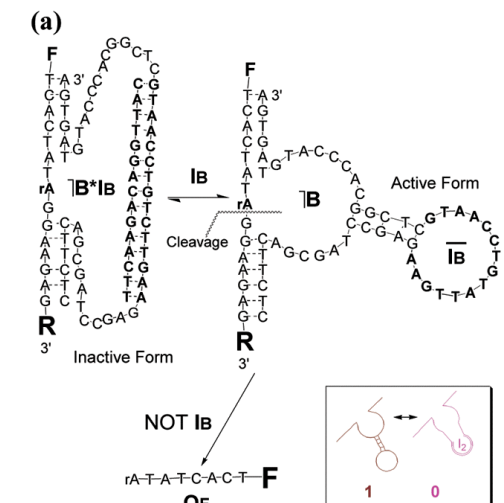
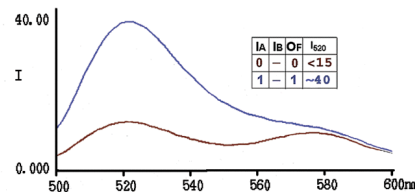


Stojanovic, Mitchell, Stefanovic. *J Am Chem Soc* 124 :3555 (2002)

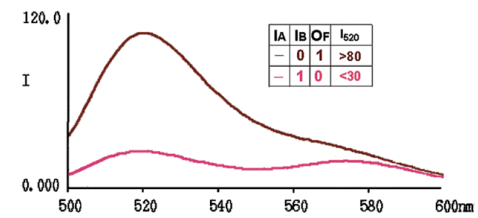
# PORTE LOGIQUES : OUI ET NON



(b)



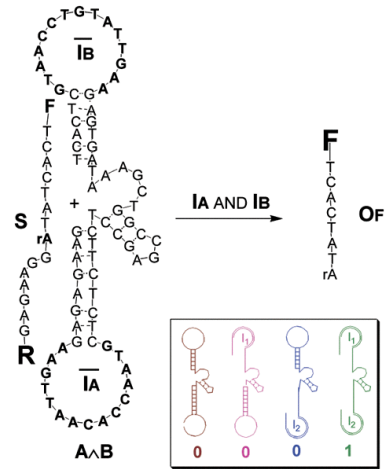
(b)



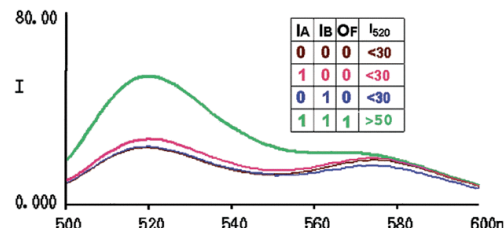
OU logique : mixte de OUI ; NON-ET logique : mixte de NON (de Morgan)

# PORTE LOGIQUES : ET ET ET-NON

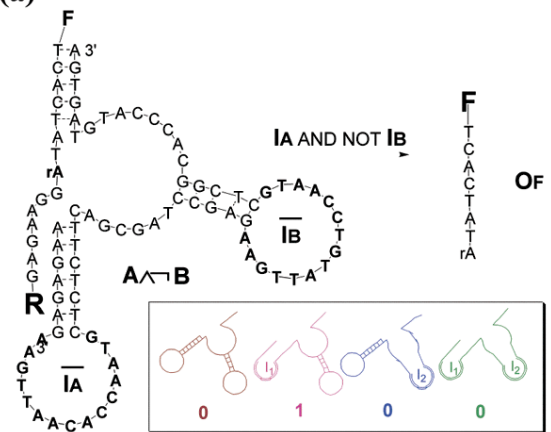
(a)



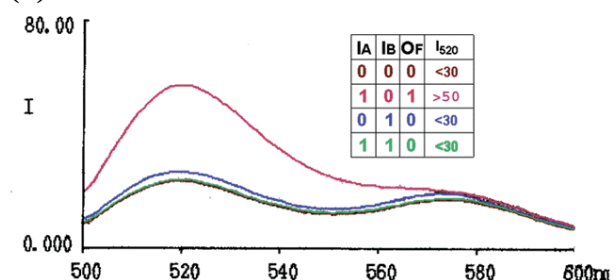
(b)



(a)



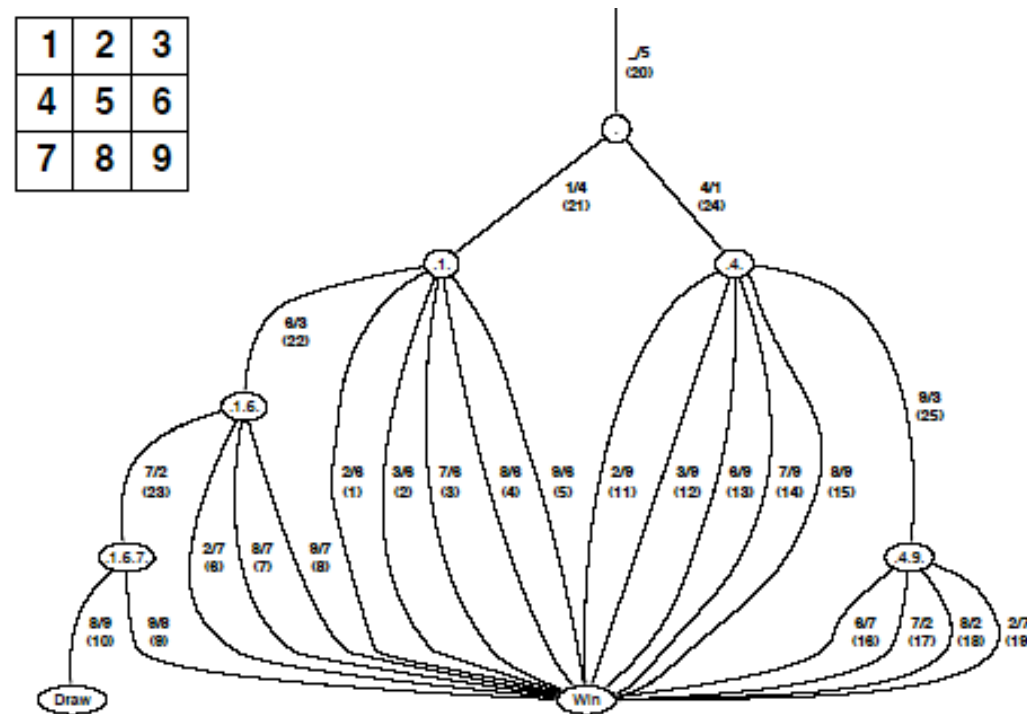
(b)



OU exclusive : mixte de ET-NON

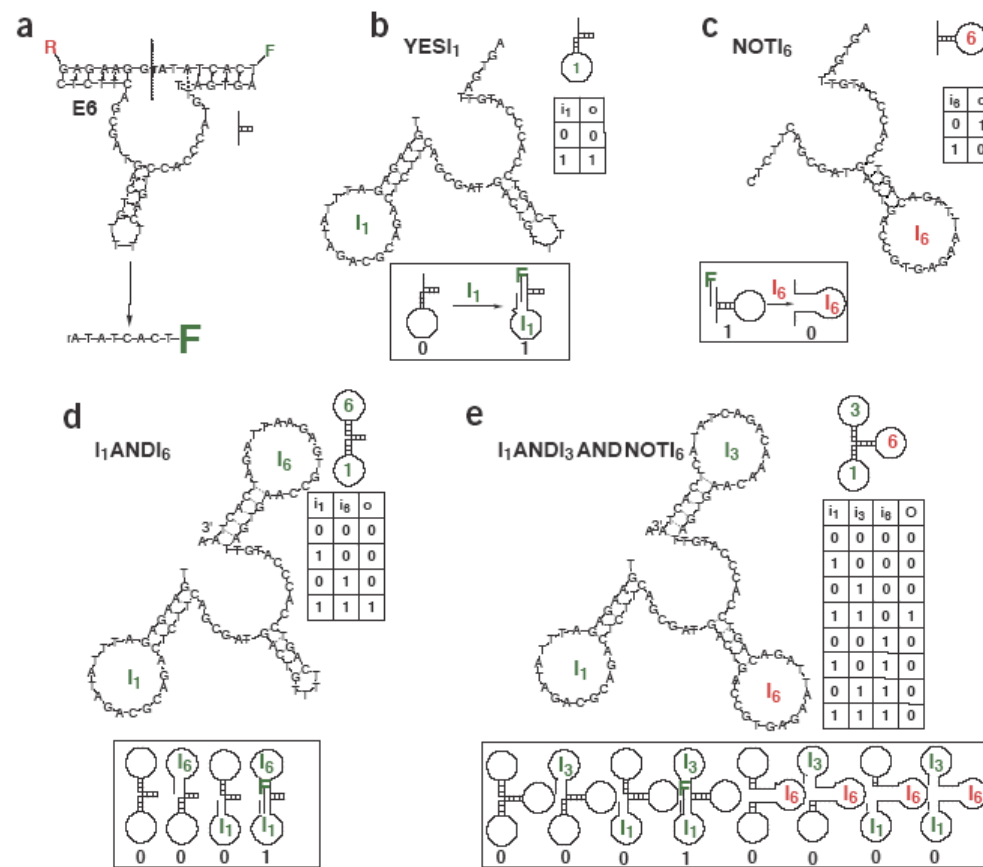
# JOUER AU TIC-TAC-TOE

La meilleure stratégie...



Stojanovic & Stefanovic. Nat Biotechnol 21 :1069 (2003)

# TIC-TAC-TOE : PORTES



Stojanovic & Stefanovic. Nat Biotechnol 21 :1069 (2003)

# TIC-TAC-TOE : EXPRESSIONS LOGIQUES

$$o_1 \leftarrow \underbrace{i_4}_{24}$$

$$o_2 \leftarrow (\underbrace{i_1 \wedge i_6 \wedge i_7}_{23}) \parallel (\underbrace{i_4 \wedge i_9 \wedge i_7}_{17}) \parallel (\underbrace{i_4 \wedge i_9 \wedge i_8}_{18})$$

$$o_3 \leftarrow (\underbrace{i_1 \wedge i_6}_{22}) \parallel (\underbrace{i_4 \wedge i_9}_{25})$$

$$o_4 \leftarrow \underbrace{i_1}_{21}$$

$$o_5 \leftarrow \underbrace{1}_{20}$$

$$o_6 \leftarrow (\underbrace{i_1 \wedge i_2}_1) \parallel (\underbrace{i_1 \wedge i_5}_2) \parallel (\underbrace{i_1 \wedge i_7}_3) \parallel (\underbrace{i_1 \wedge i_8}_4) \parallel (\underbrace{i_1 \wedge i_9}_5)$$

$$o_7 \leftarrow (\underbrace{i_1 \wedge i_6 \wedge i_2}_6) \parallel (\underbrace{i_1 \wedge i_6 \wedge i_8}_7) \parallel (\underbrace{i_1 \wedge i_6 \wedge i_9}_8) \parallel (\underbrace{i_4 \wedge i_9 \wedge i_6}_{10}) \parallel (\underbrace{i_4 \wedge i_9 \wedge i_2}_{19})$$

$$o_8 \leftarrow \underbrace{i_1 \wedge i_6 \wedge i_7 \wedge i_9}_9$$

$$o_9 \leftarrow (\underbrace{i_1 \wedge i_6 \wedge i_7 \wedge i_8}_{10}) \parallel (\underbrace{i_4 \wedge i_2}_{11}) \parallel (\underbrace{i_4 \wedge i_3}_{12}) \parallel (\underbrace{i_4 \wedge i_6}_{13}) \parallel (\underbrace{i_4 \wedge i_7}_{14}) \parallel (\underbrace{i_4 \wedge i_8}_{15})$$

$$o_1 = \underbrace{i_4}_{24}$$

$$o_2 = (\underbrace{i_6 \wedge i_7 \wedge \neg i_2}_{23}) \vee (\underbrace{i_7 \wedge i_9 \wedge \neg i_1}_{17}) \vee (\underbrace{i_8 \wedge i_9 \wedge \neg i_1}_{18})$$

$$o_3 = (\underbrace{i_1 \wedge i_6}_{22}) \vee (\underbrace{i_4 \wedge i_9}_{25})$$

$$o_4 = \underbrace{i_1}_{21}$$

$$o_5 = \underbrace{1}_{20}$$

$$o_6 = (\underbrace{i_1 \wedge i_2 \wedge \neg i_6}_1) \vee (\underbrace{i_1 \wedge i_3 \wedge \neg i_6}_2) \vee (\underbrace{i_1 \wedge i_7 \wedge \neg i_6}_3) \vee (\underbrace{i_1 \wedge i_8 \wedge \neg i_6}_4) \vee (\underbrace{i_1 \wedge i_9 \wedge \neg i_6}_5)$$

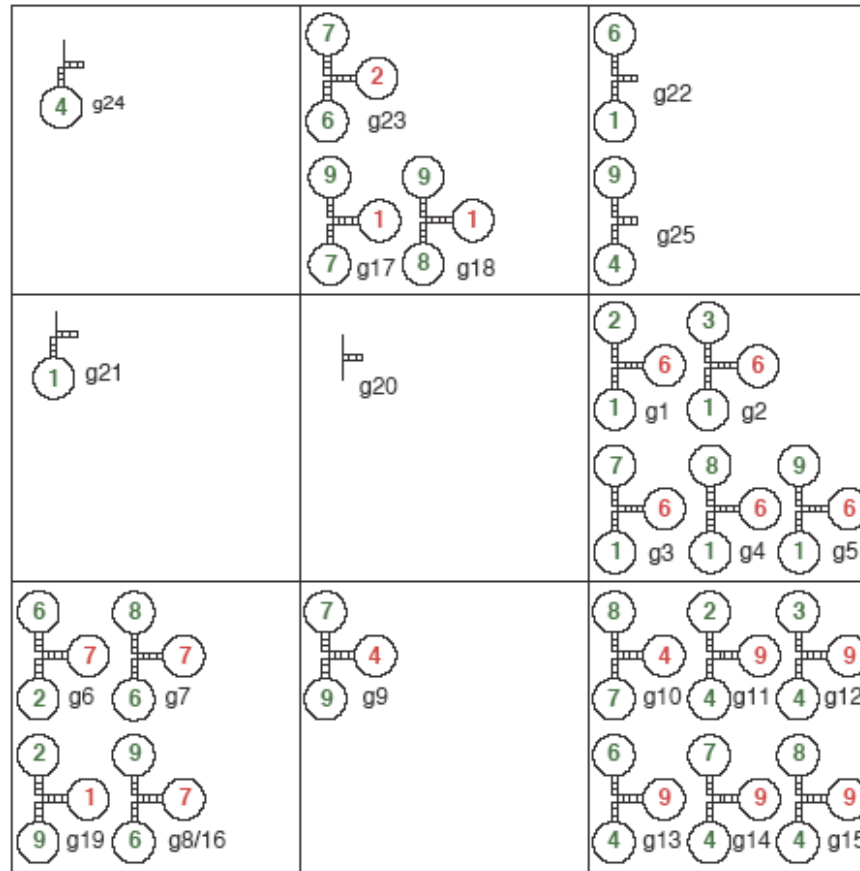
$$o_7 = (\underbrace{i_2 \wedge i_6 \wedge \neg i_7}_6) \vee (\underbrace{i_6 \wedge i_9 \wedge \neg i_7}_7) \vee (\underbrace{i_6 \wedge i_9 \wedge \neg i_1}_{8 \text{ and } 10}) \vee (\underbrace{i_9 \wedge i_2 \wedge \neg i_1}_{19})$$

$$o_8 = \underbrace{i_9 \wedge i_7 \wedge \neg i_4}_9$$

$$o_9 = (\underbrace{i_7 \wedge i_8 \wedge \neg i_4}_{10}) \vee (\underbrace{i_4 \wedge i_2 \wedge \neg i_9}_{11}) \vee (\underbrace{i_4 \wedge i_3 \wedge \neg i_9}_{12}) \vee (\underbrace{i_4 \wedge i_6 \wedge \neg i_9}_{13}) \vee (\underbrace{i_4 \wedge i_7 \wedge \neg i_9}_{14}) \vee (\underbrace{i_4 \wedge i_8 \wedge \neg i_9}_{15})$$

if faut transformer l'expression initiale [gauche] pour l'implantation

# VOILÀ LA MACHINE !



Stojanovic & Stefanovic. *Nat Biotechnol* 21 :1069 (2004)

# ORDINATEUR MOLÉCULAIRE

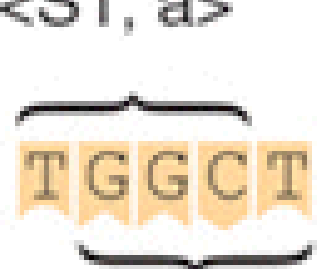
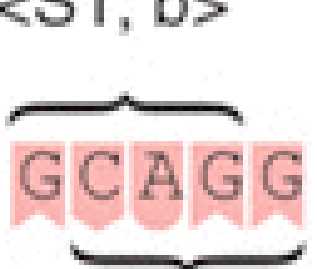
logiciel, entrée, sortie, hardware

on veut implanter une machine de Turing universelle à l'aide d'ADN, enzymes, etc.

tout d'abord : implantation d'un automate fini

# CALCUL PAR AUTOMATE FINI

Automate fini à deux états :  $S_0$  et  $S_1$ , alphabet :  $\{a, b\}$

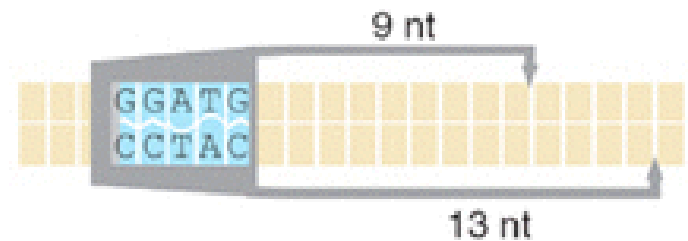
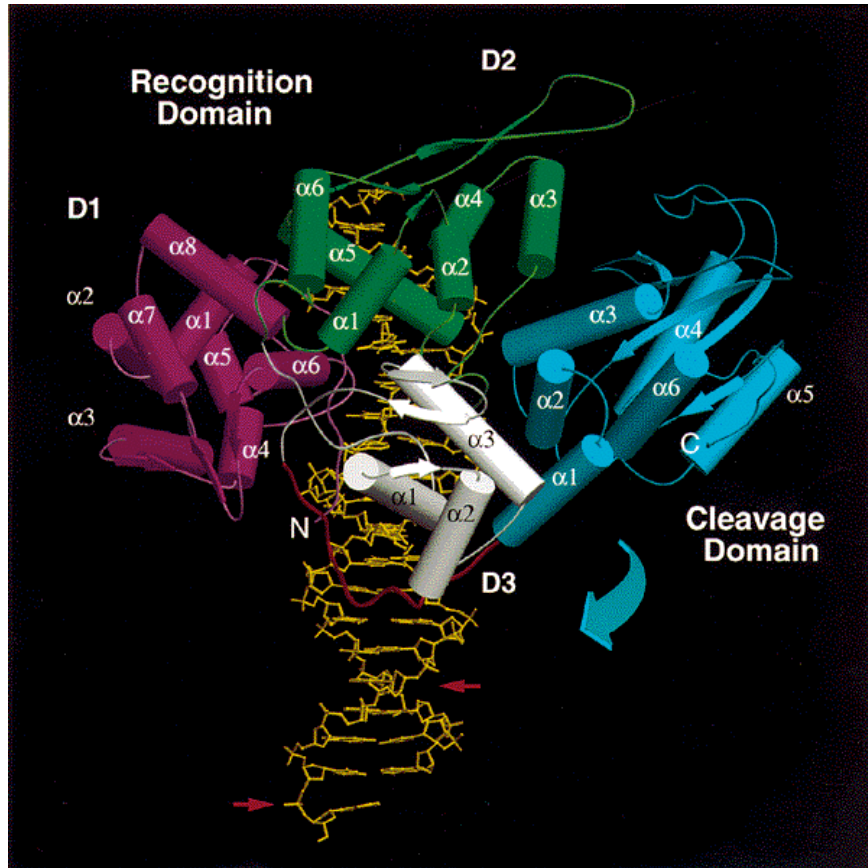
Symbol	a	b	terminator (t)
encodings & $\langle$ state, symbol $\rangle$ sticky ends	$\langle S_1, a \rangle$ 	$\langle S_1, b \rangle$ 	$\langle S_1, t \rangle$ 
	$\langle S_0, a \rangle$	$\langle S_0, b \rangle$	$\langle S_0, t \rangle$

Benenson & al. PNAS 100 :2191 (2003)

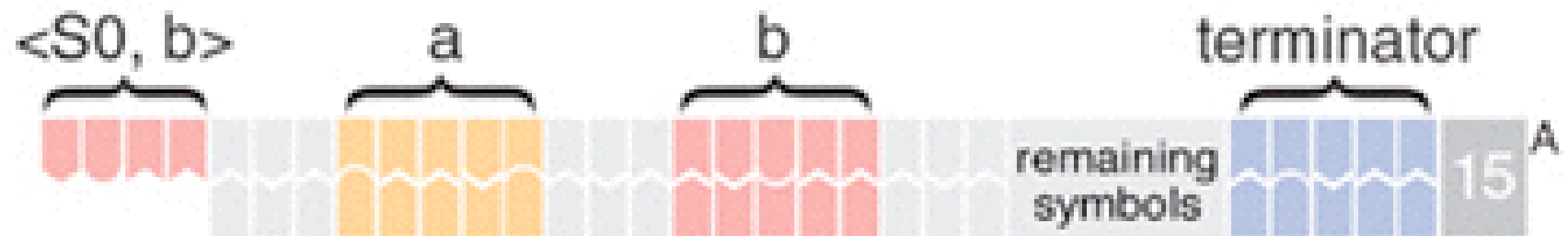
# AF : TRANSITIONS



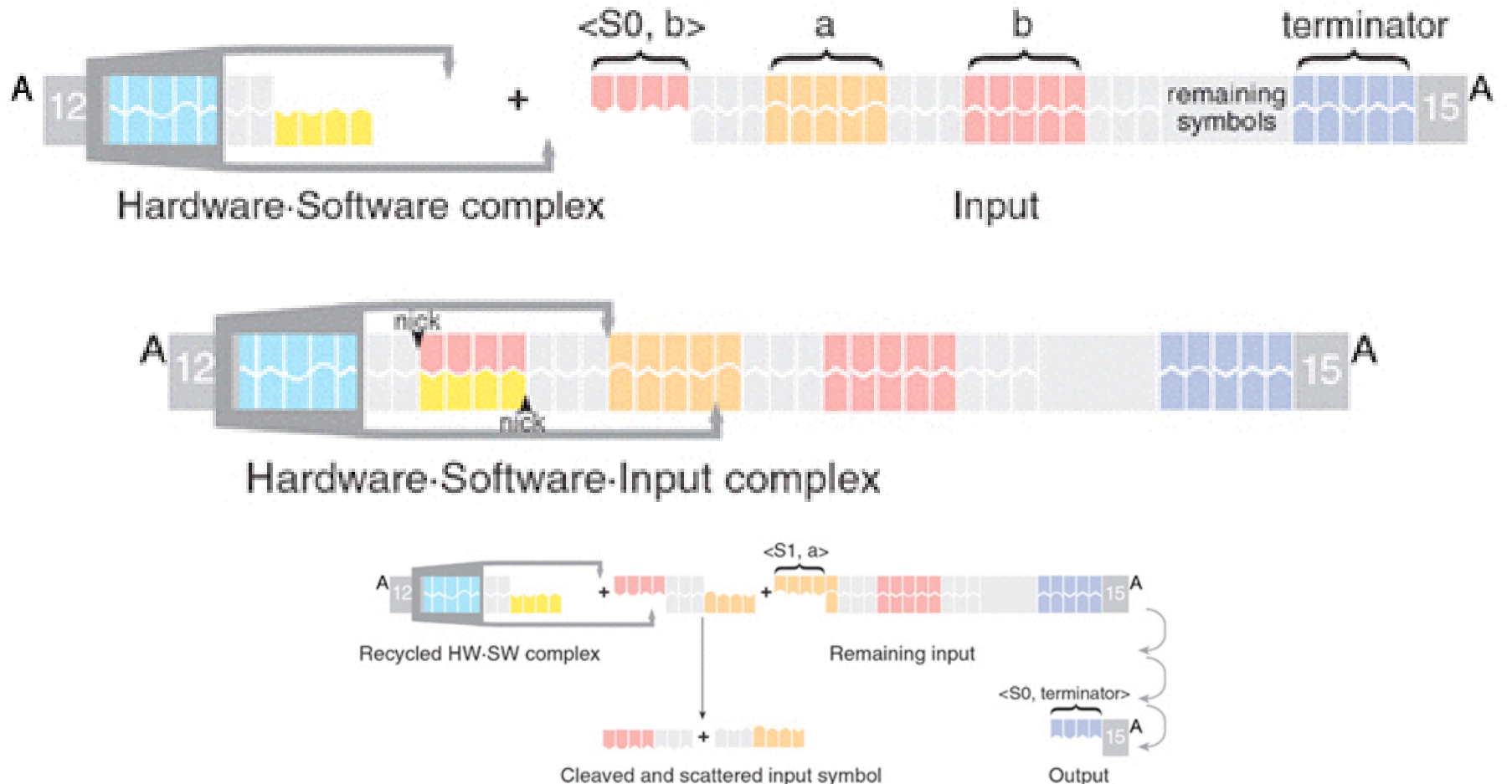
# AF : HARDWARE — *FokI*



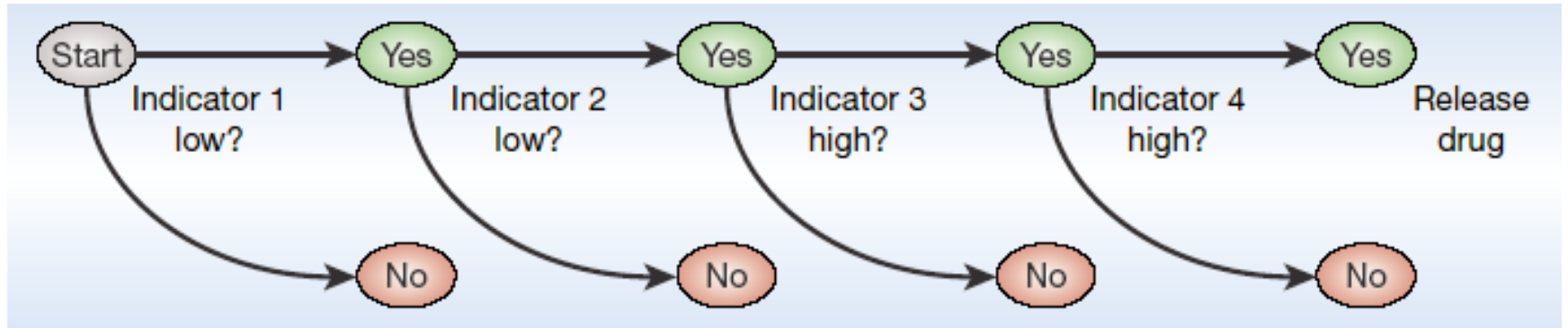
## AF : CONFIGURATIONS



# AF : CALCUL



# «MÉDICAMENT INTELLIGENT»



configurations encodées de même façon qu'avant ; transitions exécutées par FokI

challenge : lier le niveau d'expression d'un gène au symbole qui l'encode

Condon. *Nature* 429 :351 (2004)

# $10^{12}$ ORDINATEURS DANS UNE GOUTTE D'EAU

Benenson et al. *Nature* 429 :423 (2004) ; Ehud Shapiro